

## ПРИБЛИЖЕННЫЕ АНАЛИТИЧЕСКИЕ РЕШЕНИЯ ЗАДАЧИ МИЛНА В ТЕОРИИ ПЕРЕНОСА НЕЙТРОНОВ

Н. Б. Бабичев, П. В. Забусов

ФГУП "РФЯЦ-ВНИИЭФ", 607188, г. Саров Нижегородской обл.

Определены приближенные аналитические решения задачи Милна. В отличие от известных точных, приближенные решения из-за своей простоты позволили установить характер зависимостей всевозможных физических величин от аргументов и параметров. Это дало наглядное представление о процессах нейтронной кинетики.

### Введение

Задача Милна состоит в нахождении распределения нейтронов внутри полубесконечной однородной среды. Точные решения различных вариантов стационарной задачи Милна приведены в [1, 2]. К ним относятся аналитические решения кинетического уравнения

$$\mu \frac{\partial \psi(x, \mu)}{\partial x} + \alpha \psi(x, \mu) = \frac{h\alpha}{2} n(x) \quad (1)$$

или интегрального уравнения переноса нейтронов

$$n(x) = -\frac{h\alpha}{2} \int_0^{\infty} dx' n(x') Ei(-\alpha|x' - x|). \quad (2)$$

Кинетическое уравнение (1) решается с граничным условием

$$\psi(x = 0, \mu > 0) = 0, \quad (3)$$

в котором, как и в соотношении (2), предполагается, что вещество находится в области положительных  $x$ , а при  $x < 0$  полупространство пустое. Выше использованы следующие обозначения:  $\psi(x, \mu)$  – функция распределения нейтронов;  $n(x) = \int_{-1}^1 \psi(x, \mu) d\mu$  – нейтронная плотность;  $x$  – координата точки наблюдения;  $\mu$  – косинус угла между вектором  $\vec{V}$  скорости полета нейтрона и положительным направлением оси  $OX$ ;  $\alpha = n_{\text{я}}(\sigma_s + \sigma_f + \sigma_c)$  – полное макроскопическое сечение взаимодействия нейтронов с ядрами вещества (обратный пробег нейтрона);  $n_{\text{я}}$  – плотность ядер;  $h = \frac{v\sigma_f + \sigma_s}{\sigma_s + \sigma_f + \sigma_c}$  – активность среды ( $h > 1$  и  $h < 1$  соответственно размножающая и поглощающая нейтроны среды,  $h = 1$  – инертное вещество);  $\sigma_s, \sigma_f, \sigma_c$  – элементарные сечения рассеяния, деления и поглощения;  $v$  – среднее число вторичных нейтронов, возникающих в

одном акте деления активного ядра;  $Ei(-x) = -\int_x^{\infty} dt \frac{e^{-t}}{t}$ ,

$x > 0$  – интегральная показательная функция.

Известно, что в случае  $h > 1$  классические решения (см. [1, 2]) стационарных уравнений (1), (2), являясь формальными математическими, противоречат физическому смыслу, поскольку приводят к возникновению в среде областей с отрицательной плотностью нейтронов. В случае размножающей среды ( $h > 1$ ) правильным является определенное в работе [3] физическое нестационарное решение задачи Милна

$$\begin{aligned} \psi(t, x, \mu) &= \psi(x, \mu) \exp(\lambda t); \\ n(t, x) &= n(x) \exp(\lambda t), \quad \lambda = (h-1)\alpha V, \end{aligned} \quad (4)$$

где  $V$  – величина скорости нейтронов. При  $h < 1$  решение (4), как и известное стационарное, тоже не противоречит физическому смыслу.

После подстановки соотношения (4) в соответствующие нестационарные интегродифференциальное и интегральное уравнения переноса частиц и замены переменной

$$z = h\alpha x \quad (5)$$

получим

$$\mu \frac{\partial \psi(z, \mu)}{\partial z} + \psi(z, \mu) = \frac{1}{2} n(z), \quad (6)$$

$$n(z) = -\frac{1}{2} \int_0^{\infty} dz' n(z') Ei(-|z' - z|). \quad (7)$$

Граничное условие при этом выглядит так

$$\psi(z = 0, \mu > 0) = 0. \quad (8)$$

Из соотношений (4)–(8) видно, что для различных веществ экспоненциальная зависимость от времени (4) в общем случае различна, а равновесные пространственно-угловое и пространственное распределения ней-

тронов  $\psi(z, \mu)$ ,  $n(z)$  одинаковы. Уравнения (6), (7) и граничное условие (8) в  $z$  – пространстве не зависят от ядерно-физических свойств среды. Поэтому пространственная часть  $n(z)$  нестационарной функции  $n(t, z) = n(z)\exp(\lambda t)$  для произвольных  $h \neq 1$  совпадает с точным решением [4] стационарной задачи Милна в инертной среде ( $h = 1$ ). Из работы [4] следует постоянство полного векторного потока нейтронов

$$j = V \int_{-1}^1 d\mu \mu \psi(z, \mu) \text{ внутри среды. В остальном, с точки}$$

зрения математики, работа [4] оказалась столь сложной, что на ее основе детально были изучены только угловое распределение нейтронов на границе  $z = 0$  [5] и зависимость  $n(z)$  [6].

Главная цель статьи состоит в нахождении приближенных аналитических решений задачи Милна, которые из-за своей простоты позволяют детально представить себе нейтронно-кинетические процессы в системе, т.е. исследовать зависимости различных физических величин от  $x$ ,  $\mu$ ,  $h$  и  $\alpha$ .

Интересно также с помощью приближенных формул изучить вопрос о распределении нейтронов в пустоте за пределами среды.

## 1. Алгоритм поиска приближенных аналитических решений

Уравнения вида (6), (7) будем решать методом последовательных приближений, представив их следующим образом:

$$\mu \frac{\partial \psi^{[1]}(z, \mu)}{\partial z} + \psi^{[1]}(z, \mu) = \frac{1}{2} n^{[0]}(z); \quad (9)$$

$$n^{[1]}(z) = -\frac{1}{2} \int_0^{\infty} dz' n^{[0]}(z') Ei(-|z' - z|); \quad (10)$$

$n^{[0]}(z)$  – некоторое нулевое приближение;  $n^{[1]}(z)$ ,  $\psi^{[1]}(z, \mu)$  – решения в первом приближении. Мы ограничимся определением решений в первом приближении. Чтобы получить искомые удобные для анализа формулы, в качестве простого нулевого приближения выберем функцию

$$n^{[0]}(z) = n_0(z) = z + z_0. \quad (11)$$

Здесь  $z_0 = 0,7104$  – так называемая длина экстраполяции.

Функция (11) представляет собой асимптотическую часть  $n_0(z)$  решения [3]

$$n(z) = n_0(z) + \Delta n(z), \quad (12)$$

где  $\Delta n(z)$  – сравнительно малая отрицательная поправка к асимптотической плотности (11), которая быстро исчезает при удалении от границы  $z = 0$  в сторону положительных  $z$ , так что  $\lim_{z \rightarrow \infty} \Delta n(z) = 0$ .

## 2. Приближенные аналитические решения внутри среды

Из кинетического уравнения (6), сделав замену  $\psi(z, \mu) = \chi(z, \mu)e^{-z/\mu}$ , в результате интегрирования по пространственной координате можно получить следующее выражение для функции распределения нейтронов:

$$\psi(z, \mu) = \frac{1}{2\mu} \begin{cases} \int_0^z dz' n(z') \exp\left(\frac{z' - z}{\mu}\right), \mu \geq 0; \\ -\int_z^{\infty} dz' n(z') \exp\left(\frac{z' - z}{\mu}\right), \mu < 0. \end{cases} \quad (13)$$

После подстановки  $n(z) = n_0(z) = z + z_0$  в правую часть (13) имеем

$$\psi^{[1]}(z, \mu) = \frac{1}{2} \begin{cases} z + z_0 - \mu + (\mu - z_0) \exp\left(-\frac{z}{\mu}\right), \mu \geq 0; \\ z + z_0 - \mu, \mu < 0. \end{cases} \quad (14)$$

Легко убедиться, что функция (14) удовлетворяет кинетическому уравнению (9), записанному в первом приближении.

Если функцию  $\psi^{[1]}(z = 0, \mu)$  перенормировать так, чтобы выполнялось условие  $\int_{-1}^1 d\mu \psi^{[1]}(z = 0, \mu) = 1$ , то

она будет представлять собой первое приближение для углового распределения нейтронов на границе полубесконечной среды с пустотой, точное выражение для которого было получено и затабулировано Плачком в работе [5]. Сравнение этих функций показало, что наибольшее отличие приближенного решения от точного наблюдается при  $\mu = 0$ , и составляет 17%. В целом же погрешность формулы (14) намного меньше.

Графически зависимость (14) представлена на рис. 1.

Из рис. 1 следует, что вдали от границы  $z = 0$  угловое распределение нейтронов изотропно. Вблизи границы  $z = 0$  наблюдается анизотропия.

Зная функцию распределения нейтронов, можно получить аналитические выражения для любых физических характеристик. Ниже найдены пространственные зависимости нейтронной плотности, векторных и скалярных потоков.

Выражение для нейтронной плотности, полученное из формулы (10) при  $n^{[0]}(z') = z' + z_0$ , имеет достаточно простой для анализа вид

$$n^{[1]}(z) = z + z_0 - \frac{1}{2} \left\{ (z + z_0) \left[ z Ei(-z) + e^{-z} \right] - \frac{1}{2} \left[ z^2 Ei(-z) + (1 + z)e^{-z} \right] \right\}. \quad (15)$$

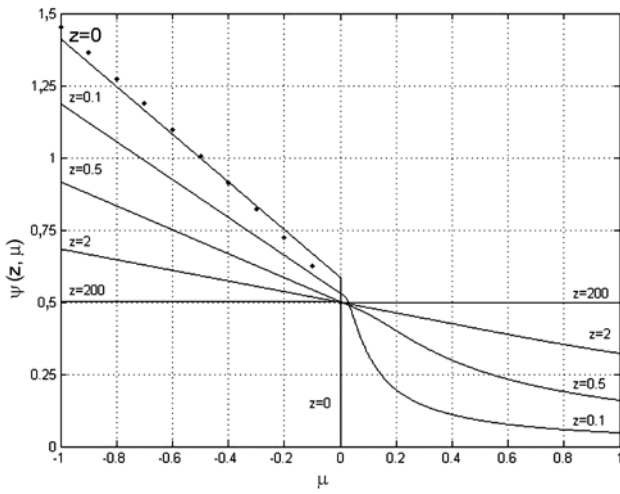


Рис. 1. Зависимости нормированной на единицу

( $\int_{-1}^1 d\mu \psi^{[1]}(z, \mu) = 1$ ) функции  $\psi^{[1]}(z, \mu)$  (сплошные линии) и функции  $\varphi(-\mu)$  работы [5] (точки)

При  $z \gg 1$   $n^{[1]}(z) \approx n(z) \approx z + z_0$ . Наибольшее отличие  $n^{[1]}(z)$  от точного решения Марка [6], возникает на границе  $z=0$ :  $n(z=0) = \frac{1}{\sqrt{3}} \approx 0,5773$ ;  $n^{[1]}(z=0) = \frac{1}{2} \left( z_0 + \frac{1}{2} \right) = 0,6052$ ;  $\frac{n^{[1]}(z=0)}{n(z=0)} = 1,0489$ .

Графически пространственное распределение нейтронной плотности представлено на рис. 2.

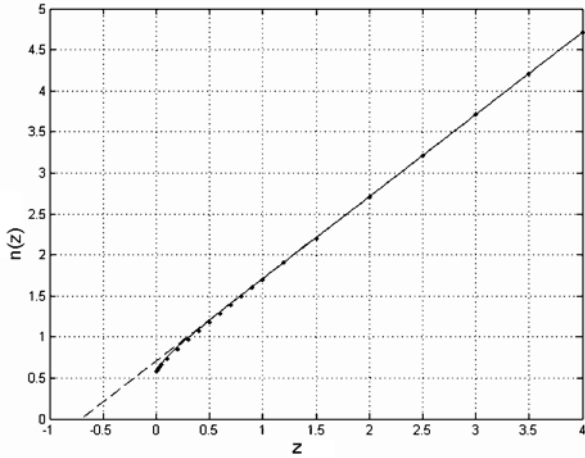


Рис. 2. Зависимости  $n^{[1]}(z)$  (сплошная линия) и  $n(z)$  работы [6] (точки), пунктир – асимптотическая функция

$$n^{[0]}(z) = n_0(z) = z + z_0$$

В работе [7] показано, что для логарифмической производной от нейтронной плотности вблизи плоской границы  $z=0$  полубесконечной среды с пустотой справедлива следующая точная формула:

$$\left( \frac{1}{n(x)} \frac{dn(x)}{dx} \right)_{x \rightarrow +0} = -\frac{\beta}{2} \ln |\beta x|, \quad (16)$$

где  $\beta = h\alpha$ . Аналогичной логарифмической расходимостью обладает и приближенное решение

$$\begin{aligned} \left( \frac{1}{n^{[1]}(x)} \frac{dn^{[1]}(x)}{dx} \right)_{x \rightarrow +0} &= -\frac{2z_0\beta}{2z_0+1} \ln |\beta x| = \\ &= -\frac{\beta}{1,7038} \ln |\beta x|. \end{aligned} \quad (17)$$

Точная (16) и приближенная (17) формулы отличаются примерно на 15% в множителе перед логарифмом.

Векторные потоки (односторонние и полный) вычисляются по формулам:

$$\begin{aligned} j_+^{[1]}(z) &= V \int_0^1 d\mu \mu \psi^{[1]}(z, \mu), \quad j_-^{[1]}(z) = \\ &= V \int_{-1}^0 d\mu \mu \psi^{[1]}(z, \mu); \end{aligned} \quad (18)$$

$$j^{[1]}(z) = j_+^{[1]}(z) + j_-^{[1]}(z). \quad (19)$$

После подстановки (14) в (18) и (19) получим

$$\begin{aligned} j_+^{[1]}(z) &= \frac{V}{4} \left\{ z + z_0 - z_0 e^{-z} - \frac{2}{3} \left( 1 - e^{-z} + \frac{z e^{-z}}{2} \right) + \right. \\ &\quad \left. + \left( \frac{z^2}{3} + z z_0 \right) \left[ z Ei(-z) + e^{-z} \right] \right\}; \end{aligned} \quad (20)$$

$$j_-^{[1]}(z) = -\frac{V}{4} \left( z + z_0 + \frac{2}{3} \right); \quad (21)$$

$$\begin{aligned} j^{[1]}(z) &= \frac{V}{4} \left\{ -z_0 e^{-z} - \frac{2}{3} \left( 2 - e^{-z} + \frac{z e^{-z}}{2} \right) + \right. \\ &\quad \left. + \left( \frac{z^2}{3} + z z_0 \right) \left[ z Ei(-z) + e^{-z} \right] \right\}. \end{aligned} \quad (22)$$

Обратимся к рис. 3. На нем представлены относительные полный и односторонние векторные потоки как функции  $z$

$$\begin{aligned} J^{[1]}(z) &= \frac{j^{[1]}(z)}{|j^{[1]}(z=0)|}, \quad J_+^{[1]} = \\ &= \frac{j_+^{[1]}(z)}{|j_+^{[1]}(z=0)|}, \quad J_-^{[1]} = \frac{j_-^{[1]}(z)}{|j_-^{[1]}(z=0)|}. \end{aligned} \quad (23)$$

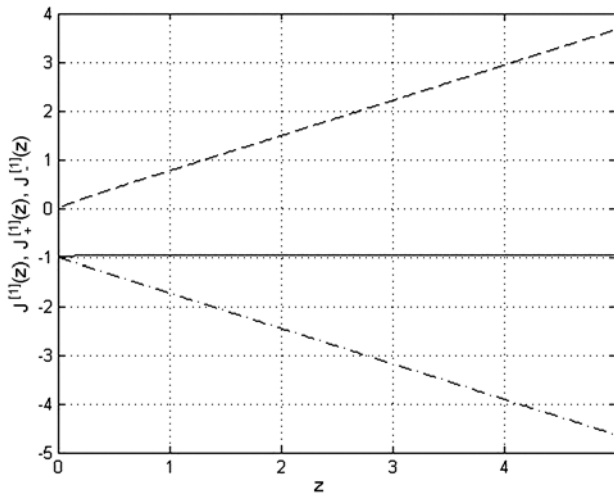


Рис. 3. Зависимости  $J^{[1]}(z)$  (сплошная линия),  $J_+^{[1]}(z)$  (пунктир),  $J_-^{[1]}(z)$  (штрихпунктир)

Выражения для односторонних и полного скалярных потоков выглядят так

$$\omega_+(z) = V \int_0^1 d\mu \psi(z, \mu), \quad \omega_-(z) = V \int_{-1}^0 d\mu \psi(z, \mu),$$

$$\omega(z) = \omega_+(z) + \omega_-(z); \quad (24)$$

$$\omega_+^{[1]}(z) = \frac{V}{2} \left\{ z + z_0 - \frac{1}{2} (z + z_0) [z Ei(-z) + e^{-z}] + \frac{1}{2} [z^2 Ei(-z) + (1+z)e^{-z}] \right\}; \quad (25)$$

$$\omega_-^{[1]}(z) = \frac{V}{2} \left( z + z_0 + \frac{1}{2} \right), \quad \omega^{[1]}(z) = \omega_+^{[1]}(z) + \omega_-^{[1]}(z). \quad (26)$$

Графики относительных скалярных потоков приведены на рис. 4.

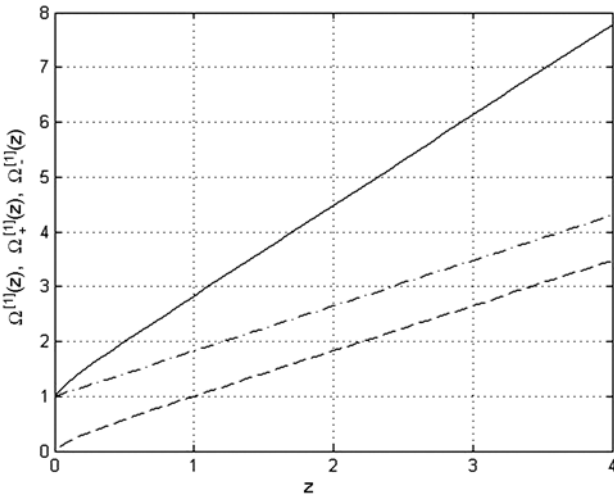


Рис. 4. Зависимости  $\Omega^{[1]}(z)$  (сплошная линия),  $\Omega_+^{[1]}(z)$  (пунктир),  $\Omega_-^{[1]}(z)$  (штрихпунктир)

$$\Omega^{[1]}(z) = \frac{\omega^{[1]}(z)}{\omega^{[1]}(z=0)}; \quad \Omega_+^{[1]}(z) = \frac{\omega_+^{[1]}(z)}{\omega_+^{[1]}(z=0)};$$

$$\Omega_-^{[1]}(z) = \frac{\omega_-^{[1]}(z)}{\omega_-^{[1]}(z=0)}.$$

### 3. Приближенные аналитические решения в вакууме

Теперь обратимся к вопросу о пространственном распределении нейтронов в пустоте ( $x < 0, z < 0$ ). В вакууме характер поведения собственных функций для  $h < 1$ ,  $h = 1$  и  $h > 1$  различен, т. е. при  $z < 0$  функции  $\psi(z, \mu)$  и  $n(z)$  параметрически зависят от  $h$ .

Согласно работе [3], выражение для нейтронной плотности в пустоте  $n_{ex}(z, h)$  имеет следующий вид:

$$n_{ex}(z, h) = -\frac{1}{2} \int_0^\infty dz' n(z') \int_{-1}^0 \frac{d\mu}{\mu} \exp\left(\frac{z'}{\mu} + \frac{h-1}{h} \frac{|z|}{\mu}\right). \quad (27)$$

#### 3.1. Случай $h \geq 1$

Пусть  $h \geq 1$ . Запишем соотношение для функции распределения нейтронов в пустоте.

$$\Psi_{ex}(z, \mu, h \geq 1) = \begin{cases} 0, & \mu \geq 0; \\ -\frac{1}{2\mu} \int_0^\infty dz' n(z') \exp\left(\frac{z'}{\mu} + \frac{h-1}{h} \frac{|z|}{\mu}\right), & \mu < 0. \end{cases} \quad (28)$$

Подставив  $n(z') = n^{[0]}(z') = z' + z_0$  в формулу (28) и вычислив интеграл, получим

$$\Psi_{ex}^{[1]}(z, \mu, h \geq 1) = \begin{cases} 0, & \mu \geq 0; \\ \frac{z_0 - \mu}{2} \exp\left(\frac{h-1}{h} \frac{|z|}{\mu}\right), & \mu < 0. \end{cases} \quad (29)$$

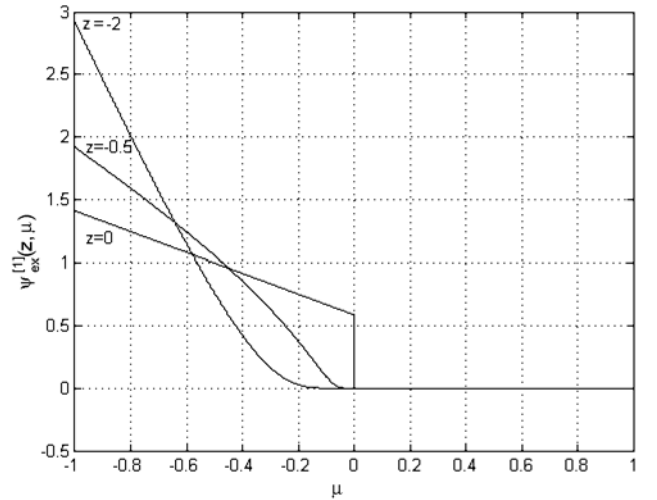


Рис. 5. Зависимость нормированной на единицу ( $\int_{-1}^1 d\mu \Psi_{ex}^{[1]}(z, \mu) = 1$ ) функции  $\Psi_{ex}^{[1]}(z, \mu, h)$  для  $h = 2$ .

Отметим, что для  $z = 0$  формулы (29) и (14) совпадают. Графическая зависимость  $\Psi_{ex}^{[1]}(z, \mu, h > 1)$  дана на рис. 5.

Графики рис. 5 показывают, что при удалении от границы в сторону вакуума резко возрастает доля нейтронов, летящих перпендикулярно плоскости  $z = 0$ .

Используя функцию распределения нейтронов (29), получим аналитические формулы для нейтронной плотности и векторных потоков за пределами среды.

Запишем выражение для нейтронной плотности

$$n_{ex}^{[1]}(z, h \geq 1) = -\frac{1}{4} \left[ \gamma^2 Ei(-\gamma) + (\gamma - 1)e^{-\gamma} \right] + \frac{z_0}{2} \left[ \gamma Ei(-\gamma) + e^{-\gamma} \right]. \quad (30)$$

Здесь и ниже  $\gamma = \frac{h-1}{h}|z|$ . На границе  $z = 0$  формулы (30)

и (15) совпадают, т. е. соблюдается условие сшивки решений для двух полупространств. На рис. 6 графически представлены зависимости относительной нейтронной

плотности  $\Phi_{ex}(z, h) = \frac{n_{ex}(z, h)}{n_{ex}(z=0, h)}$  для  $h = 2, 1$ .

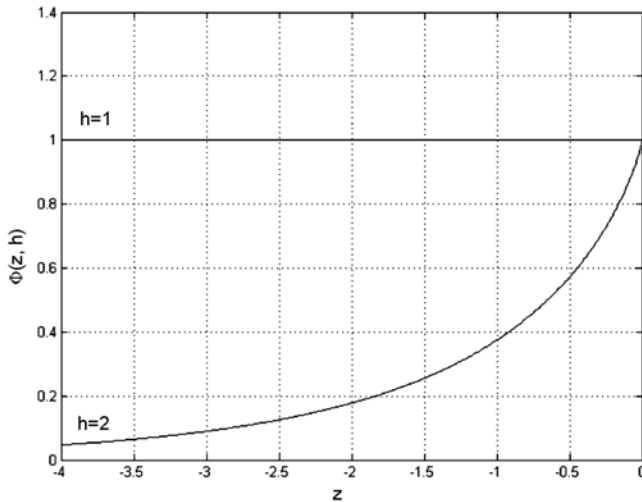


Рис. 6. Зависимости функции  $\Phi_{ex}(z, h)$  для  $h = 2, 1$

Убывание нейтронной плотности при удалении точки наблюдения от размножающей нестационарной системы связано с эффектом  $\lambda$  – поглощения нейтронов (см. [3]).

Выпишем формулы для векторных потоков за пределами среды (см. также формулы (18)–(23), справедливые внутри среды)

$$j_{+ex}^{[1]}(z, h \geq 1) = 0; \quad (31)$$

$$j_{-ex}^{[1]}(z, h \geq 1) = j_{ex}^{[1]}(z, h \geq 1) = \frac{V}{2} \left\{ \frac{z_0}{2} \left[ \gamma^2 Ei(-\gamma) + e^{-\gamma}(\gamma - 1) \right] - \frac{e^{-\gamma}}{3} \left[ 1 + \frac{\gamma(\gamma - 1)}{2} \right] - \frac{\gamma^3}{6} Ei(-\gamma) \right\}. \quad (32)$$

Графически эти зависимости представлены на рис. 7.

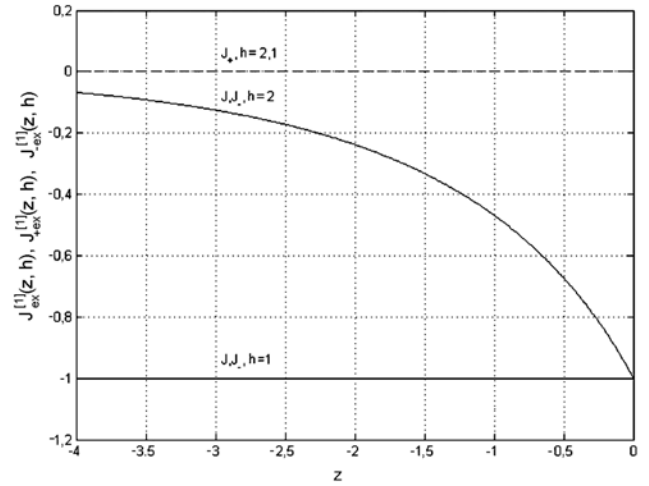


Рис. 7. Графики функций  $J_{ex}^{[1]}(z, h)$ ,  $J_{-ex}^{[1]}(z, h)$  (сплошная линия),  $J_{+ex}^{[1]}(z, h)$  (пунктир) для  $h = 2, 1$

На рис. 7 использованы следующие обозначения:

$$J_{ex}^{[1]}(z) = \frac{j_{ex}^{[1]}(z)}{\left| j_{ex}^{[1]}(z=0) \right|}, \quad J_{+ex}^{[1]} = \frac{j_{+ex}^{[1]}(z)}{\left| j_{ex}^{[1]}(z=0) \right|},$$

$$J_{ex-}^{[1]} = \frac{j_{-ex}^{[1]}(z)}{\left| j_{ex}^{[1]}(z=0) \right|}.$$

### 3.2. О распределении частиц за пределами нейтронопоглощающей среды

Если при  $h > 1$  правильным решением задачи Милна является нестационарное (см. [3]), то для  $h < 1$  стационарные решения (см. [1, 2]) следует расценивать в качестве основных, имея в виду, что нестационарные распределения нейтронов в среде [3] тоже не противоречат физическому смыслу. Вопрос же о применимости экспоненциального закона при исследовании нейтронного поля за пределами среды с  $h < 1$  пока остается открытым. Покажем это на конкретном примере.

Пусть в начальный момент в нейтронопоглощающую среду «впрыснуто» некоторое конечное число нейтронов. Со временем количество нейтронов в среде уменьшается по экспоненциальному закону. Очевидно, количество нейтронов в пустоте должно увеличиваться до тех пор, пока поступающие из среды нейтроны в последней полностью не исчезнут (в основном за счет поглощения). После этого в вакууме число нейтронов будет постоянным (неизменным со временем). Таким образом, в рассмотренном примере нейтронные процессы в вакууме нестационарны и не подчиняются экспоненциальному закону (4), который в частном случае ( $h < 1$ ,  $z < 0$ ) был необоснованно принят в работе [3]. Отметим, что после исчезновения нейтронов в среде, постоянным будет оставаться только полное число нейтронов в вакууме, а их пространственное распределе-

ние изменяется со временем, поскольку нейтронный пуг, разлетаясь, удаляется от границы среды.

### **Основные выводы**

В рамках задачи Милна получены приближенные аналитические формулы для различных физических характеристик. Формулы и построенные с их помощью графики дают достаточно полное наглядное представление о процессах нейтронной кинетики, протекающих в рассмотренной системе.

### **Список литературы**

1. Дэвисон Б. Теория переноса нейтронов. М.: Изд-во Главного управления по использованию атомной энергии при Совете Министров СССР, 1960.
2. Романов Ю. А. Критические параметры реакторных систем. Точные решения односкоростного кинетического уравнения и их использование для реше-

ния диффузионных задач (усовершенствованный диффузионный метод). М.: Госатомиздат, 1960. С. 3–26.

3. Бабичев Н. Б., Лутиков И. В., Незнамов В. П. Особенности односкоростной кинетики нейтронов в оптически толстых однородных системах и решение квазистационарного варианта задачи Милна // ВАНТ. Сер.: Теоретическая и прикладная физика. 2008. Вып. 2. С. 21–31.

4. Placzek G., Seidel W. // Phys. Rev. 1947. Vol. 72. P. 550.

5. Placzek G. // Phys. Rev. 1947. Vol. 72. P. 556.

6. Mark C. // Phys. Rev. 1947. Vol. 72. P. 558.

7. Бабичев Н. Б., Севастьянов А. А. Особенности пространственного распределения нейтронов вблизи границ // ВАНТ. Сер.: Теоретическая и прикладная физика. 2008. Вып. 3. С. 32–37.

Статья поступила в редакцию 26.03.2009